

كلية العلوم

القسم : المهنرياء

السنة : الرابعة



٩

المادة : انصاف نوافل

المحاضر : الخامسة/نظري/

{{{ A to Z مكتبة }}}
٩

مكتبة A to Z Facebook Group

كلية العلوم ، كلية الصيدلة ، الهندسة التقنية



يمكنكم طلب المحاضرات برسالة نصية (SMS) أو عبر (What's app-Telegram) على الرقم 0931497960

دراسة الاهتزازات الحرارية للشبكة البلورية :Thermal Vibrations of Lattice

- تهتز ذرات الشبكة البلورية بالنسبة لمواقع اتزانها عشوائياً.
- وتعلق هذه الاهتزازات التي تقوم بها ذرات الشبكة البلورية بدرجة الحرارة ولذلك تسمى اهتزازات حرارية.
- وتكون انتياغات الجسيمات، $u_n(t) = u e^{i(qan - \omega t)}$ ، عن مواقع توازنها صغيرة عادةً بالمقارنة مع ثابت الشبكة البلورية، a ، (حيث ω تواتر الاهتزاز و q العدد الموجي لاهتزاز الشبكة البلورية و n عدد صحيح).
- ومن ثمً يمكن دراسة هذه الاهتزازات على أنها اهتزازات توافقية Harmonic Vibrations.

نكتب معادلة حركة الجسيمات المهتزة من أجل الانتياغ (t) u_n بالشكل:

$$\begin{aligned} M \ddot{u}_n &= -M\omega^2 u_n = \vec{F}_n \\ &= -\beta(u_n - u_{n-1}) - \beta(u_n - u_{n+1}) \\ &= -\beta(u_n - u_n e^{-iqa}) - \beta(u_n - u_n e^{iqa}) = -\beta u_n [(1 - e^{-iqa}) + (1 - e^{iqa})] \\ &= -\beta u_n (2 - e^{iqa} + e^{-iqa}) = -\beta u_n (2 - 2\cos qa) = -2\beta u_n (1 - \cos qa); \\ -M\omega^2 u_n &= -2\beta u_n \left(2 \sin^2 \frac{qa}{2} \right); \end{aligned}$$

$$\therefore \omega^2 = 4 \frac{\beta}{M} \sin^2 \frac{qa}{2}; \quad (26)$$

حيث \bar{u}_n متجه إزاحة كتلة الجسيمة (M) عن موقع اتزانها، و \ddot{u}_n تسارعها وتساوي

$$\begin{aligned} u''_n(t) &= -\omega^2 u e^{i(qan - \omega t)} \\ u_{n+1}(t) &= u e^{i[qa(n+1) - \omega t]} = e^{iqa} u_n(t) \quad \text{و} \\ \text{و} \quad \bar{F}_n &= -\beta \bar{u}_n, \quad \text{و} \quad \beta \text{ معامل شبه-المرونة} \end{aligned}$$

و \vec{F}_n القوة المحصلة المؤثرة في الجسيمة المدروسة من قبل باقي كل جسيمات البلورة؛

تسمى الحركة الجماعية للجسيمات والتي يكون لها شكل موجة مرنة اهتزازات نظامية Normal Vibrations للشبكة البلورية.

لندرس في البداية جسماً خطياً (وتر) وسلسل خطية من الذرات:

يمكن أن تنشأ في وتر متجانس؛ كجسم صلب كامل متصل (مستمر)، أمواج مرنة تنتشر بسرعة الصوت، v_s .

إن تواتر الاهتزازات في الوتر تتناسب طردياً مع العدد الموجي، $\lambda / \lambda = q$ ، (خلافاً للعدد الموجي للإلكترون الذي يرمز له بالرمز k ، نستعمل هنا الرمز q).

وعندما يكون لدينا العلاقة الآتية:

$$\omega = 2\pi\nu = \frac{2\pi}{\lambda}v_s = qv_s. \quad (27)$$

ثم إن القيمة المطلقة لـ q يمكن أن تأخذ القيم من الصفر حتى الـ ∞ ($0 \leftarrow \infty$) ويغير أيضاً تواتر الاهتزازات في المجال ($\infty \leftarrow 0$).

يمكن الحصول من أجل سلسلة خطية من الذرات بحل المعادلة التفاضلية (26) على اهتزازات بتواترات تساوي:

$$\omega = \pm \omega_{\max} \sin \frac{aq}{2}, \quad (28)$$

حيث يساوي التواتر الأعظمي:

$$\omega_{\max} = 2\sqrt{\beta/M},$$

حيث M كتلة الذرة المشاركة في الاهتزاز، و q العدد الموجي، و a ثابت الشبكة البلورية الخطية للبلورة المدروسة.

تتعلق سرعة انتشار الموجة المرننة في هذه الحالة بطول الموجة، مما يُعد صفة مميزة للموجة المرننة في وسط ذي بنية ذرية مختلفة عن الوتر (أو عن جسم صلب آخر)؛ كوسط متصل. إذن، لدينا:

$$v = \frac{\omega}{q} = \frac{\lambda}{\pi} \sqrt{\frac{\beta}{M}} \sin \frac{\pi a}{\lambda}. \quad (29)$$

ونتيجة **لدورية** السلسلة الخطية الذرية للشبكة يكفي إعطاء العدد الموجي الموافق لها القيم الواقعة في المجال الآتي فقط:

$$-\frac{\pi}{a} \leq q \leq \frac{\pi}{a}. \quad (30)$$

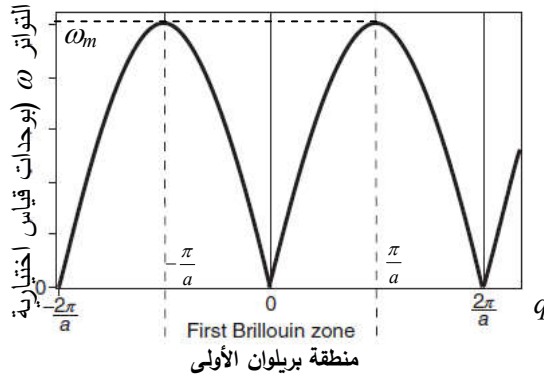
▪ هذا يعني أن مجال العدد الموجي q يتطابق مع **منطقة بريلوان الأولى** من أجل المتجه الموجي للإلكترون \vec{k} .

▪ ومن ثم، يمكن دراسة قيمة q في نفس الفضاء الذي ندرس فيه قيم k .

▪ فضلاً عن أن **عدد** قيم q من أجل سلسلة ذرية أحادية متجانسة **يساوي** عدد ذرات السلسلة N .

▪ وتسمى تابعية التواتر ω بالعدد الموجي q **قانون التبدد** Dispersion Law من أجل اهتزازات الذرات.

ومن أجل سلسلة خطية من الذرات المتماثلة يكتب هذا القانون وفق المعادلة (28) ويوضحه **الشكل** (1). من أجل **قيم كبيرة لطول الموجة** λ ، أي قيم صغيرة للعدد الموجي q ، يمكن كتابة المساواة التقريرية



الشكل (1): قانون التبدد من أجل اهتزازات الذرات في سلسلة خطية متجانسة

$$\sin \frac{aq}{2} \approx \frac{aq}{2}$$

$$v_s = a \sqrt{\frac{\beta}{M}}$$

ومن ثم تحصل على العلاقة الآتية:

$$\omega = q v_s. \quad (31)$$

وبالتالي يتعين تواتر اهتزازات السلسلة الذرية من أجل الأطوال الموجية الطويلة، كما تعين من أجل وتر متصل، العلاقة (27)، ولكن مع اختلاف مجال قيم q .

تحصل من أجل الطول الموجي الأصغرى

$$\lambda_{\min} = 2a \quad (32)$$

و

$$q = \frac{2\pi}{\lambda_{\min}} = \frac{\pi}{a}. \quad (33)$$

على القيمة القصوى للتواتر الآتية:

$$\omega_{\max} = 2 \sqrt{\frac{\beta}{M}} = \frac{2v_s}{a}. \quad (34)$$

طالما في الأجسام الصلبة $a \approx 3 \times 10^{-10} \text{ m}$ و $v_s \approx 3 \times 10^3 \text{ m/s}$ نجد أن التواتر الأعظمى يبلغ، وفق العلاقة (34) القيمة القصوى $\omega_{\max} \approx 2 \times 10^{13} \text{ s}^{-1}$ ، ما ينسجم مع تواتر الاهتزازات الذاتية لذرات الأجسام الصلبة.

إذا تم رصد تبدد الأمواج، فيجب التمييز بين **سرعة الظهور**، $q/\omega_p = \omega$ ، و**سرعة المجموعة**،

$$v_g = d\omega/dq$$

فمن أجل سلسلة خطية من الذرات لدينا من المعادلة (35):

$$v_p = \frac{\omega}{k} = \omega_{\max} \left| \frac{\sin \frac{1}{2} aq}{q} \right| = v_s \left| \frac{\sin \frac{1}{2} aq}{\frac{1}{2} aq} \right|, \quad (35)$$

$$v_g = \frac{d\omega}{dk} = \frac{a\omega_{\max}}{2} \left| \cos \frac{1}{2} aq \right| = v_s \left| \cos \frac{1}{2} aq \right|. \quad (36)$$

▪ ومن أجل **الأطوال الموجية الطويلة**، أي قيم q الصغيرة، نحصل على المساواة:

$$v = v_g = v_s. \quad (37)$$

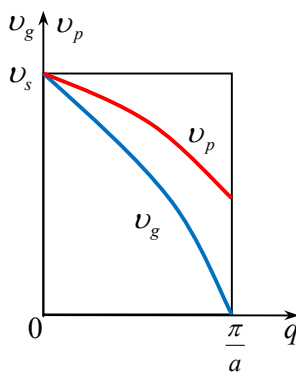
▪ وبالنسبة **للأطوال الموجية القصيرة جداً**، التي من أجلها $q = \pi/a$ ، نجد

$$v_p = \frac{2v_s}{\pi} \quad (38)$$

$$v_g = 0. \quad (39)$$

يوضح **الشكل (2)** تابعية $v_g = f(q)$ و $v_p = f(q)$ من أجل نصف منطقة بريلوان.

تجري في نظرية تبعثر حاملات الشحنة على الاهتزازات الحرارية للشبكة البلورية الخطية دراسة شكلين من الاهتزازات؛



الشكل (2): تابعية سرعة الطور وسرعة المجموعة للعدد الموجي q .

الاهتزازات الضوئية Optical و الاهتزازات الصوتية Acoustic.

→ يدور الحديث عن مفهوم الاهتزازات الضوئية والصوتية

لسلسلة خطية من الذرات من خلال وصف السلسلة

الخطية التي يتناوب فيها **نوعان من الذرات**، يختلفان عن

بعضهما البعض بالكتلة،

→ والمسافة الفاصلة بين أي ذرتين متجاورتين يساوي، كما في السابق، a .

→ وكل زوج من الذرات M_1 و M_2 يكون **خلية أولية**

للشبكة البلورية الخطية.

→ وبكتابة المعادلات التفاضلية للاهتزازات وحلها نجد أن الاهتزازات تتوافر بتوترتين ω_1 و ω_2 ، كما سنرى.

$$M_1 \frac{d^2 u_n}{dt^2} = -\beta (2u_n - v_{n-1} - v_n),$$

$$M_2 \frac{d^2 v_n}{dt^2} = -\beta (2v_n - u_{n-1} - u_n),$$

حيث u_n و v_n انزياح الذرتين الأولى والثانية في وحدة الخلية ذات الرقم- n ، على الترتيب.

يمكن حل هاتين المعادلتين مرة أخرى بتوابع من النوع الموجي من الشكل الآتي:

$$u_n(t) = u e^{i(kan-\omega t)}, \quad v_n(t) = v e^{i(kan-\omega t)}.$$

وعند التعويض عن هذين الحلين في المعادلتين التفاضلتين نحصل على جملة خطية متجانسة من المعادلات من أجل المطالين u و v :

$$\begin{aligned} -\omega^2 M_1 u &= \eta v (1 + e^{-ika}) - 2\eta u, \\ -\omega^2 M_2 v &= \eta u (e^{ika} + 1) - 2\eta v. \end{aligned}$$

ويكون لجملة هاتين المعادلتين حل إذا كان معين مصفوفة المعاملات (الأمثال) مساوياً الصفر، أي أن:

$$\begin{vmatrix} 2\eta - \omega^2 M_1 & -\eta (e^{-ika} + 1) \\ -\eta (1 + e^{ika}) & 2\eta - \omega^2 M_2 \end{vmatrix} = 0.$$

وهذا ما يحدث عندما:

$$\omega_1^2 = \frac{\omega_0^2}{2} \left[1 + \sqrt{1 - \gamma^2 \sin^2 \frac{aq}{2}} \right]; \quad \text{OPTIC} \quad (40)$$

$$\omega_2^2 = \frac{\omega_0^2}{2} \left[1 - \sqrt{1 - \gamma^2 \sin^2 \frac{aq}{2}} \right], \quad \text{ACOUSTIC} \quad (41)$$

حيث

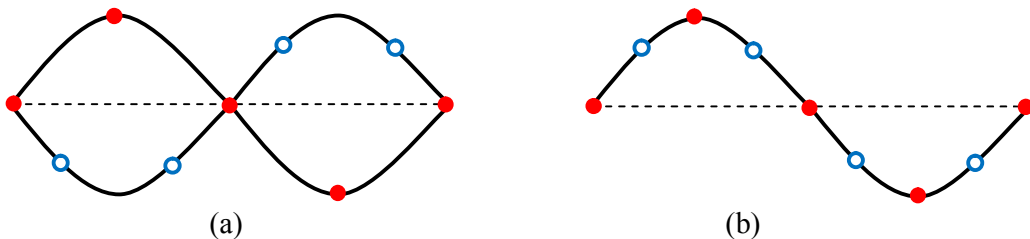
$$\omega_0^2 = 2\beta \frac{M_1 + M_2}{M_1 M_2}$$

و

$$\gamma^2 = 4 \frac{M_1 M_2}{(M_1 + M_2)^2}.$$

ليس للقيم السالبة للتواترين ω_1 و ω_2 معنى فيزيائياً، ومن ثم عند البحث عن ω_1 و ω_2 من خلال العلاقات (40) و (41) لا بد من التقييد بالحلول الموجية.

- تواافق التواترات ω_1 الاهتزازات الصوتية في حين تواافق التواترات ω_2 الاهتزازات الصوتية ثم إن $\omega_2 > \omega_1$ في كامل مجال قيم المتجه الموجي للفونون q .
- وكما يدل التحليل التفصيلي بالنسبة للاهتزازات الصوتية، فإن اهتزازات ذرات الخلية تنما في اتجاهات متعاكسة، أي أنها تهتز على تعاكس بالطور، بحيث يبقى مركز نقل كل زوج مكون للخلية ساكناً.

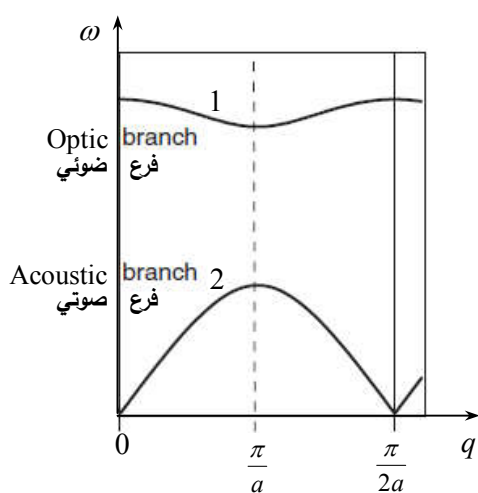


الشكل (3): أمواج عرضانية ضوئية (a) وصوتية (b) في سلسلة خطية من الذرات.

▪ وهنا إذا شُكلت الخلية الأولية المشار إليها أيونات من نوعين مختلفين، فإن اهتزازاتها المتعاكسة بالطور تؤدي إلى **تغير عزم ثنائي القطب** الكهربائي الموافق للزوج. وفي هذه الحالة يمكن أن تصدر أو تُمتص أشعة تحت حمراء IR Rays، ولهذا السبب، تسمى الاهتزازات الموصوفة اهتزازات ضوئية. يوضح **الشكل (3a)** إحدى "اللقطات اللحظية" لمواجة ضوئية عرضانية لشبكة بلورية خطية (سلسلة).

▪ أما في الفرع الصوتي فإن ذرات الخلية تنما في اتجاه واحد، كما يوضح **الشكل (3b)**، وهذا ما يشابه الموجة المرنة العادية، ولذلك يُسمى الفرع المذكور **فرعاً صوتيًّا**.

يُوافق **الشكلان (3a)** و **(3b)** طولاً موجياً واحداً (يُظهر في "اللقطتين" طول موجي واحد). ولكن يجب أن نأخذ بالحسبان أن منحني التبدد $f(q) = \omega_1$ يسلك سلوكاً مختلفاً عن سلوك منحني التبدد $f(q) = \omega_2$: إذ يُوافق المنحني 1 في **الشكل (4)** الفرع الضوئي في حين يُوافق المنحني 2 الفرع الصوتي.



الشكل (4): منحنيات التبدد من أجل اهتزازات الفرعين الضوئي (1) والصوتي (2).

فمن أجل الأطوال الموجية الطويلة يكون الاختلاف بينهما أعظمياً، إذ أن القيمة $q = 0$ تُؤدي أكبر تواتر للاهتزازات الضوئية وأصغر تواتر للاهتزازات الصوتية. ومن أجل الأطوال الموجية القصيرة المُوافقة لـ $q = \pi/a$ تكون النهاية الدنيا للتواتر الضوئي أعلى من النهاية القصوى للتواتر الصوتي.

نلاحظ، أنه على الرغم من أن النظرية تطورت من أجل سلسلة خطية من الذرات المتباينة M_1 و M_2 ، إلا أن الاستنتاجات تتحقق من أجل سلسلة خطية من الذرات المتماثلة، ولكن

في شروط توافر شبكتين جزئيتين.

→ إذ يمكن دراسة الاهتزازات ذات الأطوار المتعاكسة؛ كاهتزازات شبكتين جزئيتين متماثلين

(متجانستين) بالنسبة لبعضهما البعض حيث تقع إداهما في الأخرى.

→ يوضح **الشكل (5)** سلسلة خطية مركبة



الشكل (5): سلسلة خطية بقاعدة مكونة من ذرات متماثلة تنشأ عندها اهتزازات ضوئية

ومؤلفة من شبكتين جزئيتين من الذرات المتماثلة حيث توجد ذرتان في الخلية الأولية لمثل هذه السلسلة.

→ فالاهتزازات الضوئية تظهر في الجملة

الفيزيائية المدروسة هنا نتيجة لاهتزاز إحدى الشبكتين الجزئيتين بظور معاكس لطور اهتزاز الشبكة الجزئية الأخرى.

→ تُرصد الاهتزازات الضوئية، على وجه الخصوص، في الجermanيوم والسيلكون، لأن البلورات الحجمية من Ge و Si تملك بنية الألماس، المُؤلفة من شبكتين مكعبتين متمركزي الوجه FCC تتنازح إداهما بالنسبة للأخرى بمقدار ربع القطر الحجمي.

→ وفي البلورة الحجمية تُصان المفاهيم الأساسية المُتحققة من أجل الشبكات الأحادية البعد.

ولكن من أجل البلورات الحجمية ذات شبكة برافيه والتي تحوي ذرة واحدة في الخلية الأولية، كما في حالة السلاسل الخطية (المتجانسة) البسيطة، توافر الاهتزازات الصوتية **فقط**.

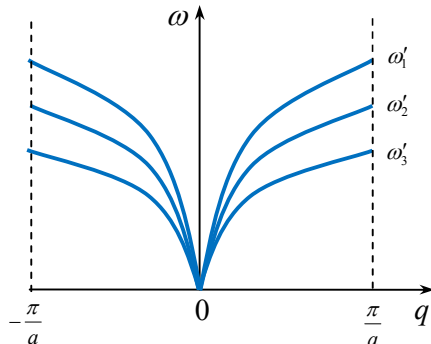
في هذه الحالة، يُوافق المتجه الموجي q في البلورة الحجمية ثلاثة اهتزازات؛ اهتزاز طولاني توافره ω' ، واهتزاز عرضانيان توافرها ω_1' و ω_2' . **والشكل (6)** يوضح منحنيات التبدد لهذه الاهتزازات.

في الحالة العامة، يمكن أن تحوي الخلية الأولية، في

البلورات الحجمية المركبة، s ذرة، وعندما تظهر ثلاثة فروع صوتية للاهتزاز و $(-s)$ فرعاً ضوئياً مُوافقاً للاهتزازات "داخل الخلية". يُملك المتجه الموجي q من القيم المسموحة بقدر ما يوجد خلايا أولية في البلورة.

وعندما تُغير قيم q في حدود المجال

(42)



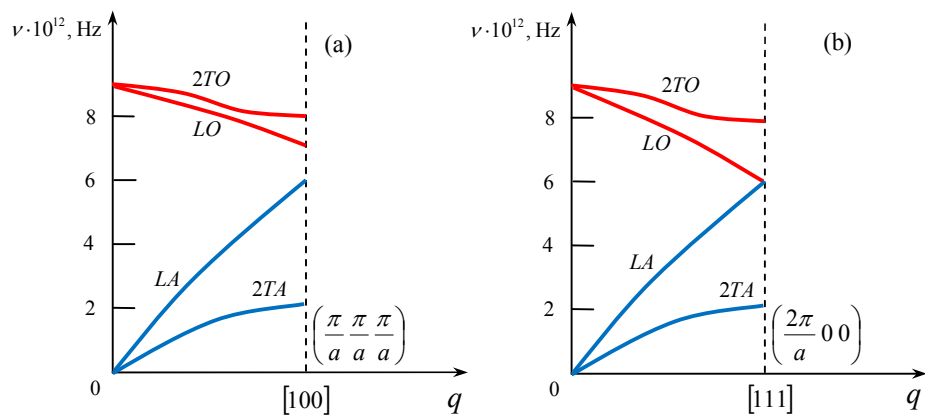
الشكل (6): الفروع الصوتية للاهتزازات النظامية لشبكة ثلاثية البعد.

$$-\frac{\pi}{a_i} < q_i \leq \frac{\pi}{a_i},$$

حيث a_i ثابت الشبكة البلورية ($i = x, y, z$).

تحوي البُلُورَةُ الْجَمِيَّةُ $N = N_x N_y N_z$ خليةً أوليةً، التي يوجد في كل منها، في الحالة العامة، s ذرة، كما ذكرنا سابقاً. وبما أن كل ذرة تمتلك ثلاثة درجات حرية، فإنه يوجد $3sN$ موجةً في البُلُورَةُ، ومن ثم $3s$ فرعاً مختلفاً من الاهتزازات؛ ثلاثة منها صوتية و $(s-1)$ فرعاً ضوئياً. سرعة الأمواج الطولانية (التي يوجد منها s نوعاً) أكبر من سرعة الأمواج العرضانية (التي يوجد منها $s-2$ نوعاً).

ثم إن منحنيات التبدل من أجل الأمواج المختلفة الاستقطابية تختلف عن بعضها البعض، ولكن من أجل



الشكل (7): الطيف الاهتزاز للشبكة البُلُورَية لجرمانيوم من أجل الاتجاهين [111] و [100].

البُلُورَاتُ المتماثلةُ المُنَاهِي ثمة موجتان عرضانيتان متخللتان توافقهما نفس قيم التواتر، ω_q ، كما في **الشكل (7)** مثلاً.

يوضح **الشكل (7)** الطيف الاهتزازي لشبكة الجermanium الذي تم الحصول عليه بطريقة الحساب استناداً إلى معطيات تجريبية. يُشير الحرفان L و T إلى الأمواج الطولانية والعرضانية على الترتيب، كما يُشير الحرفان O و A إلى الأمواج الضوئية والصوتية على الترتيب. والرقم $(2TA, 2TO)$ المرفق يُشير إلى التحلل (التطبيق) الثاني.

نلاحظ أن طاقة كل اهتزاز نظامي مُكمَّأة *Quantized*. يمكن دراسة الاهتزازات النظامية بشكل مشابه لهزازات توافقية خطية بتوتر ذاتي، ω_q ، وطاقة تساوي

$$E_q = h \nu_q (n_q + \frac{1}{2}) = \hbar \omega_q (n_q + \frac{1}{2}), \quad (43)$$

حيث $n_q = 0, 1, 2, \dots$

ثم إن **الطاقة الكلية للحركة الاهتزازية الحرارية** للذرات في البُلُورَةُ تُجمعُ من طاقات كل الاهتزازات النظامية:

$$E = \sum_{qj} E_{qj} = \sum_{qj} h \nu_{qj} \left(n_{qj} + \frac{1}{2} \right), \quad (44)$$

حيث q العدد الموجي الذي يملك N قيمةً، و زفرع الاهتزاز (ما مجموعه $3s$ فرعاً أو $3s$ نوعاً اهتزازياً)،

و $n_{qj} = 0, 1, 2, \dots$ العدد الكوانتي الرئيس للهَرَاز التوافقي ذو الرقم qj والمهتز بالتوتر ν_{qj} . بمقدور الهَرَاز الكوانتي ذو الطاقة $E_{qj} = h \nu_{qj} (n_{qj} + \frac{1}{2})$ أن يُغيِّر طاقتَه بمقدار ΔE_{qj} . وعندما، تبعاً للميكانيك الكوانتي يساوي تغير العدد الكوانتي للهَرَاز Δn_{qj} .

$$\Delta n_{qj} = \pm 1 \quad (45)$$

يُسمى كم الطاقة $h \nu_{qj}$ ، كم طاقة اهتزاز الشبكة البلورية أو فونوناً *Phonon* وهو شبه جسيم. في الشرط الموافق للمساواة $\Delta n_{qj} = +1$ تنتقل الشبكة البلورية إلى حالة طاقية أعلى (امتصاص فونون)، والموافقة للمساواة $\Delta n_{qj} = -1$ تنتقل إلى حالة طاقية أدنى (إصدار فونون).

بهذا الشكل، نرى أن اهتزازات الشبكة البلورية في السياق الطaci (أي "بلغة الطاقة") تكافئ غازاً فونونياً *.Phonon Gas*

تجدر الإشارة إلى أن الفونون لا يمتلك طاقةً وحسب، بل شبه اندفاع أيضاً

$$p = \hbar q. \quad (46)$$

توصف الفونونات بإحصاء بوزة-لينشتاين والتركيز الوسطي للفونونات (التي طاقاتها

في الخلية الأولية لفضاء طوري حجمه h^3 يساوي $E_s = h \nu_s = \hbar \omega_s$

$$\langle n \rangle = \frac{1}{e^{\frac{h\nu}{k_B T}} - 1} = f. \quad (47-18)$$

وفي درجات الحرارة المرتفعة، عندما $T \gg h \nu_s / k_B$ ، تؤول العلاقة الأخيرة إلى الشكل

$$\langle n \rangle \cong \frac{1}{1 + \frac{h\nu}{k_B T} - 1} = \frac{k_B T}{h \nu_s}.$$

ومن ثم

$$\langle n \rangle = \frac{k_B T}{h \nu_s}. \quad (48)$$

وهذا يعني أن التركيز الوسطي للفونونات يتاسب طرداً مع درجة حرارة الشبكة البلورية وفق علاقَة خطية. ثم إن الطاقة الوسطية للهَرَاز الموافقة تساوي

$$E_s = h \nu_s \langle n \rangle = k_B T. \quad (49)$$

أماماً في درجات الحرارة المنخفضة، عندما $h\nu/k_B \ll T$ ، تؤول العلاقة (47) إلى الشكل

$$\langle n \rangle = e^{-\frac{h\nu_s}{k_B T}} \quad (50)$$

وهذا يعني أن التركيز الوسطي للفونونات يتاسب طرداً مع درجة حرارة الشبكة البلورية وفق علاقة أسيّة. تُعد الكمية $\langle n \rangle$ ، كما ذكرنا، تركيزاً وسطياً للفونونات من أجل خلايا أولية، h^3 ، أو كثافةً وسطيةً لانشغال الحالات الطافية. لإيجاد التركيز الكلي للفونونات في واحدة الحجم للبلورة لا بد:

- من إيجاد عدد الحالات الكمومية من أجل المجال المعطى، $d\omega$ ، ثم ضربه بكثافة انشغال الحالات الكمومية f ،
- وبعد ذلك، مكاملة الناتج بالنسبة لتوافر طيف الاهتزازات النظامية.

لرمز لتركيز الفونونات التي طاقتها محصورة في المجال من ω إلى $\omega + d\omega$ \hbar بالرمز dN_{ph} .

تحدد الكمية dN_{ph} كحاصل ضرب لحالات الكمومية، $d\omega$ ، في f :

$$dN_{ph} = f d\omega. \quad (51)$$

تقتصر دراستنا هنا على البلورات التي تتصف بشبكة برافيه، حيث الاهتزازات الممكنة فيها هي الاهتزازات الصوتية فقط. وعندما، إذا كان $\bar{v}_s = \omega$ ، حيث \bar{v}_s السرعة الوسطية للصوت للفروع الصوتية، وشبه الاندفاع $p = \hbar q = \hbar\omega/\bar{v}_s$ ، فيمكن إيجاد $d\omega$ بالشكل

$$d\omega = \frac{d(\frac{4}{3}\pi p^3)}{h^3} = \frac{4\pi p^2 dp}{h^3} = \frac{4\pi (\hbar\omega/\bar{v}_s)^2 d(\hbar\omega/\bar{v}_s)}{h^3} = \frac{3\omega^2 d\omega}{2\pi^2 \bar{v}_s^3}. \quad (52)$$

حيث يُشير العامل 3 إلى وجود **ثلاثة استقطابات ممكنة للفونون** (استقطاب طولي واثنان عرضانيان).

ومن ثم نعرض في المعادلة (51) مع الأخذ بالحساب العلاقة (47) فنحصل على العلاقة الآتية:

$$dN_{ph} = \frac{3}{2\pi^2 \bar{v}_s^3} \frac{\omega^2 d\omega}{(e^{\hbar\omega/k_B T} - 1)}. \quad (53)$$

لإيجاد التركيز الكلي للفونونات الصوتية، نكمل المعادلة (53) في مجال التواترات من 0 إلى ω_{max} :

ω_{max} هو التواتر الأعظمي للاهتزازات الصوتية الطولانية المرتبطة بدرجة حرارة ديبابي Θ_D بالعلاقة

$$\Theta_D = \frac{\hbar\omega_{max}}{k_B}. \quad (54)$$

يجدر بالذكر أن درجة حرارة ديبابي أو درجة الحرارة المميزة تقع من أجل معظم الأجسام الصلبة في **المجال الحراري** K 300 – 100. وهي تتفق درجة الحرارة التي بانخفاضها اللاحق يلاحظ انخفاض السعة الحرارية للجسم الصلب ثم إنها درجة حرارة الشبكة البلورية التي تتحرس عنها جميع الفونونات.

وهكذا يكون لدينا العلاقة:

$$N_{ph} = \frac{3}{2\pi^2 v_s^{-3}} \int_0^{\omega_{\max}} \frac{\omega^2 d\omega}{(e^{\hbar\omega/k_B T} - 1)}, \quad (55)$$

أو العلاقة:

$$N_{ph} = \frac{3}{2\pi^2 v_s^{-3}} \left(\frac{k_B T}{\hbar} \right)^3 \int_0^{\Theta_D/T} \frac{x^2 dx}{(e^x - 1)}, \quad (56)$$

حيث $x = \hbar\omega/k_B T$

أولاً- في درجات الحرارة المنخفضة، عندما $\Theta_D \ll T$ ، يمكن استبدال الحد العلوي للتكمال في المعادلة (56) باللأنهاية، وعندما نحصل على المساواة

$$\int_0^{\infty} \frac{x^2 dx}{(e^x - 1)} = \frac{\pi^2}{3}, \quad (57)$$

ومن ثم

$$N_{ph} = \frac{1}{2} \left(\frac{k_B}{v_s \hbar} \right)^3 T^3. \quad (58)$$

ثانياً- أما في درجات الحرارة المرتفعة، عندما $\Theta_D \gg T$ و $x \gg 1$ ، يمكن نشر المقدار e^x في سلسلة والاكتفاء بالديندين الأول والثاني من المنشور. في هذه الحالة يمكن كتابة المساواة

$$\int_0^{\Theta_D/T} \frac{x^2 dx}{e^x - 1} = \int_0^{\Theta_D/T} x dx = \frac{1}{2} \left(\frac{\Theta_D}{T} \right)^2, \quad (59)$$

وفي هذه الحالة نجد أن التركيز الكلي للفونونات يساوي:

$$N_{ph} = \frac{3\Theta_D^2}{4\pi^2} \left(\frac{k_B}{\hbar v_s} \right)^3 T. \quad (60)$$

بهذه الطريقة نجد، في درجات الحرارة المنخفضة، أن المقدار N_{ph} يتاسب طردياً مع المرتبة الثالثة لدرجة الحرارة، وفي درجات الحرارة المرتفعة، يتاسب خطياً مع درجة الحرارة.

بشكل مشابه، يمكن إجراء الحساب من أجل شبكات **بلوريّة** معقدة التي من الممكن أن تتهيّج فيها الاهتزازات الضوئية. وعندما، يؤخذ بالحساب، أن الاهتزازات الضوئية تتهيّج في درجات الحرارة المرتفعة نسبياً، طالما أن تواترها أكبر من تواتر الاهتزازات الصوتية. وفي الكثير من الحالات، يمكن عدّ تواتر الاهتزازات الضوئية ثابتة في كامل مجال تغيير العدد الموجي q ، فضلاً عن أن $\omega = 10^{13} \text{ s}^{-1}$.

دراسة تبعثر الإلكترونات على الفونونات (الاهتزازات الحرارية للشبكة البلورية):

Study of Scattering Electrons on Thermal Vibrations of Lattice

لدى تأثر الإلكترون (أو ثقب) مع اهتزازات الشبكة البلورية- الفونونات، يمكن رصد انتقال طاقة منه إلى الشبكة البلورية ومن ثم ولادة فونون جديد أو رصد عملية معاكسة (انتقال طاقة من الشبكة ومن ثم فناء فونون). وعندما تتحقق قوانين انحصار الطاقة وشبه الاندفاع. فعند ولادة فونون يكون لدينا

$$E(\vec{k}) = E_i(\vec{k}_i) + \hbar\omega_q; \quad (61)$$

$$\vec{k} = \vec{k}_i + \vec{q}, \quad (62)$$

حيث $E(\vec{k})$ طاقة الإلكترون قبل التصادم (قبل التأثر مع اهتزازات الشبكة البلورية)، و \vec{k} المتجه الموجي الموافق له،

و $E_i(\vec{k}_i)$ طاقة الإلكترون بعد ولادة فونون جديد بمتجه موجي \vec{q} وطاقة $\hbar\omega_q$ ، و \vec{k}_i المتجه الموجي لهذا الإلكترون.

وعند امتصاص الإلكترون لفونون يكون لدينا

$$E_i(\vec{k}_i) = E(\vec{k}) + \hbar\omega_q; \quad \text{أو} \quad E(\vec{k}) = E_i(\vec{k}_i) - \hbar\omega_q; \quad (63)$$

$$\vec{k}_i = \vec{k} + \vec{q}, \quad \text{أو} \quad \vec{k} = \vec{k}_i - \vec{q}, \quad (64)$$

حيث $E_i(\vec{k}_i)$ طاقة الإلكترون بعد امتصاصه فونون، و \vec{k}_i المتجه الموجي الموافق لهذا الإلكترون، تسمى الآلية الموصوفة هنا للتبعثر آلية التبعثر أحادية الفونون *One-phonon Mechanism*. وبما أن عدد الفونونات يتحدد بدرجة الحرارة، فإن تبعثر الإلكترونات على الاهتزازات الحرارية للشبكة البلورية يتعلق بدرجة الحرارة أيضاً.

من الممكن أن تحدث في البلورة، وإنما باحتمال أقل، آلية التبعثر متعددة الفونون *Multi-phonon Mechanism*، عندما تُرصد ولادة أو امتصاص أكثر من فونون.

يُحسب زمن الاسترخاء عند تبعثر الإلكترونات على الفونونات الصوتية الطولانية في أنصاف النواقل الذرية من العلاقة الآتية:

$$\tau(\vec{k}) = \frac{\tau_0}{(m^*)^{3/2} (E)^{1/2} T}, \quad (65)$$

حيث τ_0 مقدار ثابت من أجل البلورة المدروسة، و m^* الكتلة الفعالة للإلكترونات، و E طاقة الإلكترونات.

وبالتالي، عند تبعثر الإلكترونات على الاهتزازات الصوتية الطولانية للشبكة البلورية يمكن التعبير عن حركيتها **بالعلاقة**

$$\mu_{TV} = \frac{4\epsilon\tau_0}{3\sqrt{\pi}(k_B)^{1/2}(m^*)^{5/2}T^{3/2}} = bT^{-3/2}. \quad (66)$$

أي بعلاقة من شكل المعادلة (13-17).)

تُرصد عادةً تابعية قريبة من العلاقة (66) في مجالات واسعة جداً من درجات الحرارة، ولكن فضلاً عن ذلك، يحدث وبأي معاً تبعثر على الاهتزازات الضوئية للشبكة البلورية، وتبعثر تباعي الفنون، وأنواع أخرى من التبعثر، ولذلك يجب أن لا نتوقع تحقيقاً دقيقاً للعلاقات من الشكل (66).